



école \_\_\_\_\_  
normale \_\_\_\_\_  
supérieure \_\_\_\_\_  
paris—saclay \_\_\_\_\_



université  
PARIS-SACLAY

# Étude numérique des équations du groupe de renormalisation non perturbatif

Master 2 Analyse Modélisation Simulation

---

Gaétan Facchinetti

Encadré par : Nicolas Dupuis et Bertrand Delamotte

*Laboratoire de Physique Théorique de la Matière Condensée  
Université Paris-Saclay – École Normale Supérieure Paris-Saclay  
École Nationale Supérieure des Techniques Avancées - UVSQ*

28 septembre 2017

## 1. Introduction du problème

Physique statistique et modèle d'Ising

Transition de phase

Le groupe de renormalisation (RG)

Les équations BMW

Objectif

## 2. Le problème continu

Hamiltonien du modèle continu  $\varphi^4$

Système d'équations à résoudre

Méthodes numériques

Résultats

## 3. Le problème du modèle d'Ising 2D

Mise en équations

## A. Modèle d'Ising

- Modèle d'Ising 2D carré :
  - ▶ Réseau carré de pas  $a$ .
  - ▶  $N_s$  spins à une composantes.

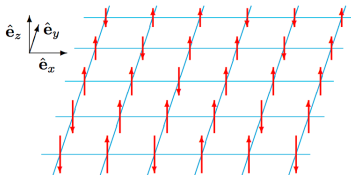


FIGURE – Modèle d'Ising.

- Spin et configuration :
 
$$S_{\mathbf{r}} \in \{-1, 1\}, \quad \mathcal{M} = \{S_{\mathbf{r}}\}_{\mathbf{r}}$$

- Energie d'une configuration  $\mathcal{M}$  :

$$\mathcal{H}(\mathcal{M}) = \sum_{\langle \mathbf{r}, \mathbf{r}' \rangle} S_{\mathbf{r}} S_{\mathbf{r}'} - \sum_{\mathbf{r}} b_{\mathbf{r}} S_{\mathbf{r}}$$

- Probabilité d'une configuration :

$$p(\mathcal{M}) = \sum_{\mathcal{M}} \frac{1}{Z} \exp(-\mathcal{H}(\mathcal{M})/(k_B T))$$

- Fonction de partition :

$$Z = \sum_{\mathcal{M}} \exp(-\mathcal{H}(\mathcal{M})/(k_B T))$$

- Définition de l'aimantation :

$$m = \sum_{\mathcal{M}=\{S_{\mathbf{r}}\}_{\mathbf{r}}} p(\mathcal{M}) \left( \frac{1}{N_s} \sum_{\mathbf{r}} S_{\mathbf{r}} \right) = \frac{1}{N_s \beta} \partial_{\beta} \ln(\mathcal{Z})$$

# 1. Introduction du problème

## 1. Physique statistique et modèle d'Ising

- Définition de l'aimantation :

$$m = \sum_{\mathcal{M}=\{S_{\mathbf{r}}\}_{\mathbf{r}}} p(\mathcal{M}) \left( \frac{1}{N_s} \sum_{\mathbf{r}} S_{\mathbf{r}} \right) = \frac{1}{N_s \beta} \partial_{\beta} \ln(\mathcal{Z})$$

- Evolution de l'aimantation  $m$  avec la température  $T$  :

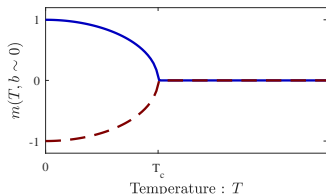


FIGURE – Aimantation  $m$  vs  $T$

Invariance par échange de  $\hat{\mathbf{e}}_z$  en  $-\hat{\mathbf{e}}_z$  :  
A ( $b_{\mathbf{r}} = 0, T = 0$ ) :  $m = 0$ .

Mais problème :

$$\lim_{b \rightarrow 0} \left( \lim_{N_s \rightarrow \infty} m \right) = 0 \neq \lim_{N_s \rightarrow \infty} \left( \lim_{b \rightarrow 0} m \right)$$

# 1. Introduction du problème

## 1. Physique statistique et modèle d'Ising

- Définition de l'aimantation :

$$m = \sum_{\mathcal{M}=\{S_{\mathbf{r}}\}_{\mathbf{r}}} p(\mathcal{M}) \left( \frac{1}{N_s} \sum_{\mathbf{r}} S_{\mathbf{r}} \right) = \frac{1}{N_s \beta} \partial_{\beta} \ln(\mathcal{Z})$$

- Evolution de l'aimantation  $m$  avec la température  $T$  :

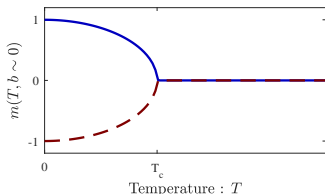


FIGURE – Aimantation  $m$  vs  $T$

Invariance par échange de  $\hat{\mathbf{e}}_z$  en  $-\hat{\mathbf{e}}_z$  :  
A ( $b_{\mathbf{r}} = 0, T = 0$ ) :  $m = 0$ .

Mais problème :

$$\lim_{b \rightarrow 0} \left( \lim_{N_s \rightarrow \infty} m \right) = 0 \neq \lim_{N_s \rightarrow \infty} \left( \lim_{b \rightarrow 0} m \right)$$

$\Rightarrow$  Brisure de symétrie & Transition de phase

# 1. Introduction du problème

## 2. Transition de phase

- Température critique :  $T_c$

# 1. Introduction du problème

## 2. Transition de phase

- Température critique :  $T_c$
- Transitions de phase du second ordre :
  - ◊ Fonction de corrélation à deux points :

$$G^{(2)}(|\mathbf{r}_1 - \mathbf{r}_2|) \equiv \langle S_{\mathbf{r}_1} S_{\mathbf{r}_2} \rangle \equiv \sum_{\mathcal{M}} p(\mathcal{M}) S_{\mathbf{r}_1} S_{\mathbf{r}_2}$$

$$\text{Pour } T = T_c, \quad G^{(2)}(r) \underset{r \rightarrow \infty}{\sim} |r|^{2-d-\eta},$$

- ◊ Longueur de corrélation :

$$\xi \underset{T \rightarrow T_c}{\sim} |T - T_c|^{-\nu}$$



# 1. Introduction du problème

## 2. Transition de phase

- Température critique :  $T_c$
- Transitions de phase du second ordre :
  - ◊ Fonction de corrélation à deux points :

$$G^{(2)}(|\mathbf{r}_1 - \mathbf{r}_2|) \equiv \langle S_{\mathbf{r}_1} S_{\mathbf{r}_2} \rangle \equiv \sum_{\mathcal{M}} p(\mathcal{M}) S_{\mathbf{r}_1} S_{\mathbf{r}_2}$$

$$\text{Pour } T = T_c, \quad G^{(2)}(r) \underset{r \rightarrow \infty}{\sim} |r|^{2-d-\eta},$$

- ◊ Longueur de corrélation :

$$\xi \underset{T \rightarrow T_c}{\sim} |T - T_c|^{-\nu}$$

$\Rightarrow$  Exposants critiques :  $\eta$  et  $\nu$

# 1. Introduction du problème

## 2. Transition de phase

- Température critique :  $T_c$
- Transitions de phase du second ordre :
  - ◊ Fonction de corrélation à deux points :

$$G^{(2)}(|\mathbf{r}_1 - \mathbf{r}_2|) \equiv \langle S_{\mathbf{r}_1} S_{\mathbf{r}_2} \rangle \equiv \sum_{\mathcal{M}} p(\mathcal{M}) S_{\mathbf{r}_1} S_{\mathbf{r}_2}$$

$$\text{Pour } T = T_c, \quad G^{(2)}(r) \underset{r \rightarrow \infty}{\sim} |r|^{2-d-\eta},$$

- ◊ Longueur de corrélation :

$$\xi \underset{T \rightarrow T_c}{\sim} |T - T_c|^{-\nu}$$

$\Rightarrow$  Exposants critiques :  $\eta$  et  $\nu$

- Universalité des exposants critiques

# 1. Introduction du problème

## 3. Le groupe de renormalisation (RG)

- Fonction de partition exprimée avec des champs :

$$\mathcal{Z} = \int \mathcal{D}\varphi \exp(-\mathcal{H}[\varphi]/(k_B T))$$

- Transformée de Fourier :

$$\hat{\varphi}_{\mathbf{p}} = \frac{1}{\sqrt{|\Omega|}} \int_{\Omega} \varphi(\mathbf{r}) e^{-i\mathbf{p} \cdot \mathbf{r}} d\mathbf{r},$$

$$\varphi(\mathbf{r}) = \frac{1}{\sqrt{|\Omega|}} \sum_{\mathbf{p}} \hat{\varphi}_{\mathbf{p}} e^{i\mathbf{p} \cdot \mathbf{r}}$$

- $\|\mathbf{p}\|_2 \in [0, \Lambda]$

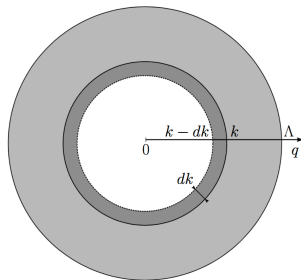


FIGURE – Principe du RG

*Thèse de Frédéric Léonard*

- En pratique :  $\mathcal{Z}_k \xrightarrow{\text{NPRG}} \Gamma_k \xrightarrow{\text{BMW}} \Gamma_k^{(2)}$

L'équation de flot BMW :

$$\partial_t \Gamma_k^{(2)}(\mathbf{p}, \phi) = J_3(\mathbf{p}, \phi) \left( \partial_\phi \Gamma_k^{(2)}(\mathbf{p}, \phi) \right)^2 - \frac{1}{2} I_2(\phi) \partial_\phi^2 \Gamma_k^{(2)}(\mathbf{p}, \phi)$$

Avec les notations,

$$J_n(\mathbf{p}, \phi) = \int_{\mathbf{q}} \partial_t \mathcal{R}_k(\mathbf{q}) G_k(\mathbf{p} + \mathbf{q}, \phi) G_k^{n-1}(\mathbf{q}, \phi),$$
$$I_n(\mathbf{p}, \phi) = \int_{\mathbf{q}} \partial_t \mathcal{R}_k(\mathbf{q}) G_k^n(\mathbf{q}, \phi).$$

Définition du propagateur :

$$G_k(\mathbf{q}, \phi) = \frac{1}{\Gamma_k^{(2)}(\mathbf{q}, \phi) + \mathcal{R}_k(\mathbf{q})}$$

Condition initiale en  $k = \Lambda$  connue

⇒ Calcul des exposants critiques :  $\eta$  et  $\nu$

- ⇒ Calcul des exposants critiques :  $\eta$  et  $\nu$
- ⇒ Calcul de la température critique :  $T_c$

⇒ Calcul des exposants critiques :  $\eta$  et  $\nu$

⇒ Calcul de la température critique :  $T_c$

- Première étude :

- ▶ Réécriture en C++ d'un code permettant de calculer  $\eta$  et  $\nu$
- ▶ Recherche des problèmes et tentatives de résolution

⇒ Calcul des exposants critiques :  $\eta$  et  $\nu$

⇒ Calcul de la température critique :  $T_c$

- Première étude :

- ▶ Réécriture en C++ d'un code permettant de calculer  $\eta$  et  $\nu$
- ▶ Recherche des problèmes et tentatives de résolution

- Deuxième étude :

- ▶ Ecriture d'un nouveau code pour calculer  $T_c$  : faisable mais difficile
- ▶ Comparaison à la valeur théorique : benchmarking de la méthode



## 1. Introduction du problème

Physique statistique et modèle d'Ising

Transition de phase

Le groupe de renormalisation (RG)

Les équations BMW

Objectif

## 2. Le problème continu

Hamiltonien du modèle continu  $\varphi^4$

Système d'équations à résoudre

Méthodes numériques

Résultats

## 3. Le problème du modèle d'Ising 2D

Mise en équations

## 2. Le problème continu

### 1. Hamiltonien du modèle continu $\varphi^4$

$$H[\varphi] = \int_{\mathbf{r}} \left\{ \frac{1}{2} (\nabla \varphi)^2 + \frac{1}{2} r_0 \varphi^2 + \frac{u_0}{4!} (\varphi^2)^2 \right\} \quad (1)$$

Trouver  $(\tilde{Y}_k, \tilde{W}_k)$  tel que pour tout  $k \in ]0, \Lambda]$ ,  $\tilde{\rho} \in [0, +\infty[$  et  $\tilde{p} \in [0, +\infty[$ ,

$$\begin{aligned} \partial_t \tilde{Y}_k(\tilde{p}, \tilde{\rho}) = & \eta_k(1 + \tilde{Y}_k(\tilde{p}, \tilde{\rho})) + \tilde{p} \partial_{\tilde{p}} \tilde{Y}_k(\tilde{p}, \tilde{\rho}) - (2 - d - \eta_k) \tilde{\rho} \partial_{\tilde{\rho}} \tilde{Y}_k(\tilde{p}, \tilde{\rho}) \\ & + 2\tilde{\rho}\tilde{p}^{-2} \left[ \left( \tilde{p}^2 \partial_{\tilde{\rho}} \tilde{Y}_k(\tilde{p}, \tilde{\rho}) + \tilde{u}_k(\tilde{\rho}) \right)^2 \tilde{J}_3(\tilde{p}, \tilde{\rho}) \right] - 2\tilde{\rho}\tilde{p}^{-2} \left[ \tilde{u}_k^2(\tilde{\rho}) \tilde{I}_3(\tilde{\rho}) \right] \\ & - \tilde{I}_2(\tilde{\rho}) \left( \partial_{\tilde{\rho}} \tilde{Y}_k(\tilde{p}, \tilde{\rho})/2 + \tilde{\rho} \partial_{\tilde{\rho}}^2 \tilde{Y}_k(\tilde{p}, \tilde{\rho}) \right) \\ \partial_t \tilde{W}_k = & (\eta_k - 2) \tilde{W}_k(\tilde{\rho}) + (d - 2 + \eta_k) \tilde{\rho} \partial_{\tilde{\rho}} \tilde{W}_k(\tilde{\rho}) + \frac{1}{2} \partial_{\tilde{\rho}} \tilde{I}_1(\tilde{\rho}), \end{aligned}$$

avec la définition

$$\eta_k = \frac{1}{2} \tilde{I}_2(\tilde{\rho} = 0) \partial_{\tilde{\rho}} \tilde{Y}_k(\tilde{p} = 0, \tilde{\rho} = 0),$$

et les conditions initiales,

$$\tilde{Y}_\Lambda(\tilde{p}, \tilde{\rho}) = 0 \quad \text{et} \quad \tilde{W}_\Lambda(\tilde{\rho}) = \tilde{r}_0 + \tilde{u}_0 \tilde{\rho}$$

- Discrétisation en temps : Schéma d'Euler explicite

- Discrétisation en temps : Schéma d'Euler explicite
- Discrétisation en champ : Grille fixe. Dérivée avec schémas à 5 points

- Discrétisation en temps : Schéma d'Euler explicite
- Discrétisation en champ : Grille fixe. Dérivée avec schémas à 5 points
- Discrétisation en moments : Méthode pseudo-spectrale
  - ▶ Interpolation de Tchebytehev
  - ▶ Intégration de Gauss-Legendre

- Discrétisation en temps : Schéma d'Euler explicite
- Discrétisation en champ : Grille fixe. Dérivée avec schémas à 5 points
- Discrétisation en moments : Méthode pseudo-spectrale
  - ▶ Interpolation de Tchebychev
  - ▶ Intégration de Gauss-Legendre
- A propos de l'intégration

$$K = \int_{\mathbb{R}^d} f(\tilde{\mathbf{q}}^2) g((\tilde{\mathbf{p}} + \tilde{\mathbf{q}})^2) d\tilde{\mathbf{q}},$$

$$K = S_{d-1} \int_0^{+\infty} d\tilde{q}_2 \tilde{q}_2^{d-2} \int_{-\infty}^{+\infty} d\tilde{q}_1 f(\tilde{q}_1^2 + \tilde{q}_2^2) g(\tilde{p}^2 + \tilde{q}_1^2 + \tilde{q}_2^2 + 2\tilde{p}\tilde{q}_1)$$





## 1. Introduction du problème

Physique statistique et modèle d'Ising

Transition de phase

Le groupe de renormalisation (RG)

Les équations BMW

Objectif

## 2. Le problème continu

Hamiltonien du modèle continu  $\varphi^4$

Système d'équations à résoudre

Méthodes numériques

Résultats

## 3. Le problème du modèle d'Ising 2D

Mise en équations

### 3. Le problème du modèle d'Ising 2D

#### 1. Mise en équations

- Réécriture de la fonction de partition :

$$\mathcal{Z} \propto \int_{\mathbb{R}} \prod_{\mathbf{r}} d\varphi_{\mathbf{r}} \exp(-\mathcal{H}_{\mu}[\varphi]) , \quad (2)$$

avec l'hamiltonien  $\mathcal{H}_{\mu}$  définit par

$$\mathcal{H}_{\mu}[\varphi] = \frac{1}{2} \int_{\mathbf{q}} \varphi(\mathbf{q}) \frac{1}{\lambda_{\mu}(\mathbf{q})} \varphi(-\mathbf{q}) - \sum_{\mathbf{r}} \ln(\cosh(\varphi_{\mathbf{r}})) , \quad (3)$$

### 3. Le problème du modèle d'Ising 2D

#### 1. Mise en équations

• :

### 3. Le problème du modèle d'Ising 2D

2.

- Réécriture de la fonction de partition :